不同工龄胸膜斑分布情况

工齢 (年)	观察人数	胸膜斑例数	出现率(%)
10~20	50	1	2
21~30	266	17	6.39
31~	247	23	9. 31
<u> </u>	563	41	7. 28

其中钙化型胸膜斑有单侧膈肌钙化1例,多发钙化4例(胸膜、膈肌、心包等)。非钙化型胸膜斑在单侧胸壁上有3例,在双侧胸壁上有33例。

一般胸膜斑的厚度在 $3 \sim 10 \text{mm}$ 范围,多数在 5 mm 左右。胸膜斑的长度为胸壁的 1/4 以下者 24 例;达 1/3 者 14 例;达 1/2 者 3 例。

在铸工尘肺诊断中,如参照尘肺诊断中胸膜斑的 出现,对原有石棉对肺实质改变的诊断有所提高。按国家尘肺诊断标准原诊断 0^+ 石棉尘肺的病人可诊为 I 期石棉尘肺的原则,本组有 20 例可由 " 0^+ " 升为 "1"。

3 讨论

铸造行业所产生粉尘危害为铸工尘肺,早已被人们认识。但是,由于生产工艺技术的要求所需的原材料较多,其中石棉(温石棉)的应用及石棉尘的危害报道甚少。铸造合箱之间夹有大量石棉垫,防止浇铸时跑火。开箱后石棉垫破碎不易再回收而混于型砂中,当再

次使用砂型时,必然接触混有石棉的型砂,并重新应用石棉垫。国外曾有学者报道,铸件时铸型中放有石墨和石棉以提高金属凝固锭块质量,并清楚证明铸工中有石棉肺发生。国内也曾有铸工石棉肺的病例报道,因此,铸造业接触石棉所形成的石棉危害是肯定的。

从阅读铸工尘肺胸片中发现石棉胸膜斑检出率 7.28%,多发生在0⁺及Ⅰ期; I、II期病例中未见到。 铸造工人胸膜斑出现的平均工龄为23.3年,说明长期 低量接触石棉纤维作用壁层胸膜的结果。

胸膜斑多发生于侧胸壁 6~9 肋间;双侧多于单侧;其内缘向肺区凸出,界限清楚,密度均匀,肋间隙无幅凑,肋膈角锐。而膈肌胸膜斑主要在横膈的中心部膈面上(腱部),平直,扁平条状,长度 2~3mm 钙化阴影,易于识别。后前位胸部平片胸膜斑,呈弥漫性的小片状,密度较高的条索状及部分钙化性阴影,形成"地图"样改变。

铸工胸部 X 线所显示胸膜斑的特征,为铸工尘肺的石棉影响提供了依据。按 1986 年尘肺诊断标准中胸膜斑的诊断价值,两侧胸壁的胸膜斑厚度达到 3mm 或有膈肌斑,可将 "0+"石棉肺提升为"I"。铸工尘肺是混合型尘肺,在有石棉影响的表现时,也应参照石棉肺的诊断这一原则,使铸造作业工人的健康得到保护。

(收稿: 1995—11—30 修回: 1996—01—08)

煤工尘肺患者血清 β2-微球蛋白的临床价值探讨

枣庄矿务局中心医院(277011) 李国宽 芮青龙 程 杰 赵逢瑞 史学芬 朱 平 枣庄矿务局田陈煤矿医院 郭广彬

自 1964 年 Berggard 首先在 Wilson's 病患者尿中找到 β_c 微球蛋白 (β_2 -MG) 后, 历经多年临床探索, 目前认为血清 β_2 -MG 是反映肾功能早期损害的敏感指标。为了解煤工尘肺(CWP)患者肾功能状态, 本文对 70 例 CWP 患者同时测定血清 β_2 -MG、BUN、Cr, 并以 30 例健康老年人作对照组, 现报道如下。

1 材料和方法

1. 1 对象

CWP 组 70 例均为男性,年龄 54~76 岁,平均 62 岁,其中 1 期 20 例, I 期 30 例, II 期 20 例,合并肺心病 56 例,呼吸衰竭 40 例,心力衰竭 30 例,病情都处于相对稳定期。对照组 30 例,系本院退休男性职工,年龄 50~70 岁,平均 65 岁。两组均经全面体检和实验

室检查排除肾脏疾病,及肝炎、肿瘤等影响血清 β₂-MG 水平的疾病,两组年龄间无显著性差异。

1. 2 检测项目及方法

血样品均取于早晨空腹静脉血各 2ml,立即送检。血清 β_2 -MG 放射免疫测定采用中国原子能科学院提供药盒,本院测定范围 $1.28\sim1.95mg/L$ 。BUN 采用酶法,范围<7.14mmol/L。Cr 采用苦味酸法,范围 $88.4\sim176.8\mu mol/L$ 。

2 结果

2. 1 两组血清 β₂-MG、BUN、Cr 测定结果

CWP 组血清 β₂-MG 水平显著高于对照组 (*P* < 0.05); BUN、Cr 水平亦高于对照组,但无显著性差异 (*P* > 0.05)。三者各期之间无显著性差异。

CWP 组与对照血清 β_2 -MG、BUN、Cr 的比较 ($\overline{X}\pm S$)

	例数	eta_2 -MG (mg/L)	BUN (mmol/L)	Cr (µmol/L)
对照组	30	1.69±0.42	5.79±1.20	158. 55±18. 25
CWP 组	70	2.62±0.96*	5.99 ± 2.25	170.08 \pm 27.79
I期	20	2.64 ± 1.06	6.68 ± 3.02	175.35 \pm 32.40
I期	30	2.47 ± 0.64	5. 82±1. 52	166.86 ± 17.39
■期	20	2.83 ± 1.09	5.56±1.51	169.47±33.96

* 与对照组比较 P<0.05

2. 2 CWP 患者血清 β₂-MG 与 BUN、Cr 的关系

70 例 CWP 患者血清 β₂-MG 与 BUN、Cr 呈正相 关,相关系数分别为r=0.45,P<0.01;r=0.49,P<0.01。见图 1、图 2。

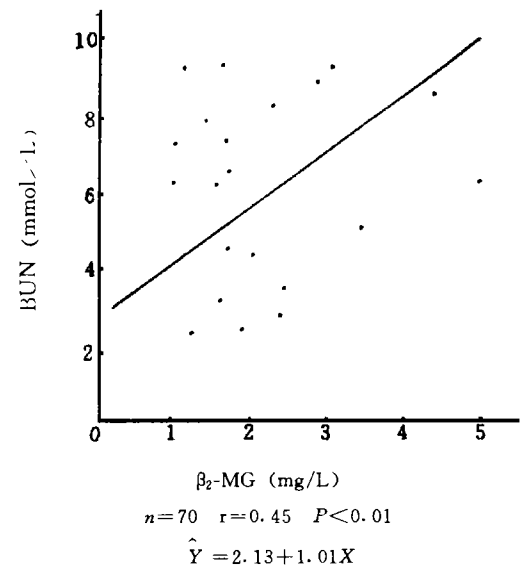


图1 血清 β₂-MG 与 BUN 的关系

2. 3 依据各指标判定肾功能损害的结果

β₂-MG>2.53mg/L 者 37 例, 肾功能损害发生率 为 52.86%; BUN>8.19mmol/L, Cr>195.05μmol/L 者 11 例,肾功能损害发生率为 15.71%, 二者比较有 显著性差异, (P<0.01)。且依据 BUN、Cr 判定为肾 功正常 59 例中血清 β₂-MG 增高 28 例,这表明血清 β₂-MG 在判定肾功能损害方面较 BUN、Cr 敏感,可靠。 3 讨论

β₂-MG 是一内源性低分子蛋白质,分子量为 11 800,由 100 个氨基酸组成,在有核细胞表面作为抗 原成分,也可以在淋巴细胞非抗原结构中发现,在血液 循环中呈游离状态,合成分解相对平衡。肾脏是其分解 代谢的唯一器官。它可以自由通过肾小球滤过膜,

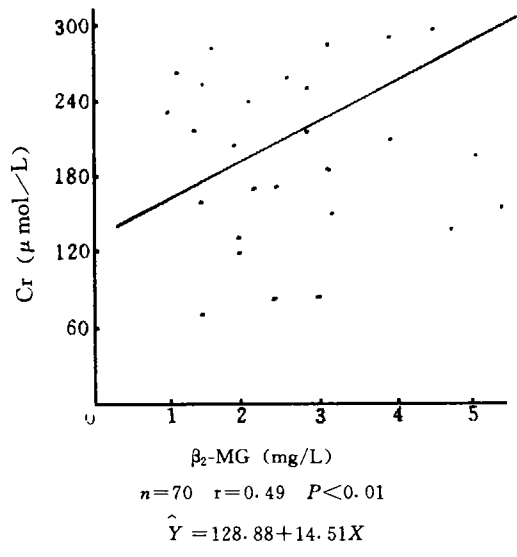


图 2 血清 β-MG 与 Cr 的关系

99.9%被近端肾小管重吸收并被蛋白水解酶降解。当 肾小球滤过率降低时,血清 β₂-MG 浓度升高。本文结 果: CWP 组血清 β₂-MG 水平显著高于对照组, 其原因 我们认为有以下几个方面: (1) CWP 肺间质纤维化使 通气、换气功能障碍导致机体长期缺氧和二氧化碳潴 留,可反射地引起肾血管收缩,肾血流量减少,肾小球 滤过率降低。(2) 酸碱失衡在 CWP 患者相对稳定期发 生率高达 50.9%, 尤其呼吸性酸中毒时可直接损害肾 功能,若继发代谢性酸中毒,进一步加重肾功能损害。 (3) 右心衰竭时,静脉回流受阻,心排血量降低,致使 肾脏充血,肾血流量减少和肾小球滤过率降低。(4)本 文患者年龄较大,反复感染,多次住院及使用对肾脏有 损害的药物都可导致不同程度的肾功能损害。

本文结果进一步提示: 血清 β₂-MG 在判断肾功能 早期损害方面较 BUN、Cr 更敏感可靠。因此及时检测 CWP 患者血清 β₂-MG 水平对于早期发现肾功能损害 及指导治疗有重要的临床价值。

(收稿: 1995-10-06 修回: 1995-11-28)